

06

Генерация второй гармоники в поверхностном слое диэлектрической сфероидальной частицы. I. Аналитическое решение

© В.Н. Капшай, А.А. Шамына[✉], А.И. Толкачёв^{✉✉}

Гомельский государственный университет им. Ф. Скорины,
246019 Гомель, Республика Беларусь

e-mail: kapshai@rambler.ru, [✉] anton.shamyna@gmail.com, ^{✉✉} anton.talkachov@gmail.com

Поступила в редакцию 05.02.2022 г.

В окончательной редакции 18.04.2022 г.

Принята к публикации 02.05.2022 г.

Решена задача о генерации второй гармоники плоской эллиптически поляризованной электромагнитной волной в тонком оптически нелинейном поверхностном слое диэлектрической частицы, имеющей форму эллипсоида вращения. Для аналитического описания использовано обобщенное приближение Рэлея–Ганса–Дебая с учетом различия в показателях преломления среды, соответствующих частотам возбуждающего и генерируемого излучения. Получены предельные формы функций, с использованием которых выражена напряженность электрического поля генерируемого излучения. Найден порядок зависимости указанных функций от линейных размеров, когда длины полуосей частицы малы по сравнению с длиной волны возбуждающего излучения и их отношение остается постоянным. Выявлено, что плотность мощности генерируемого излучения в этом случае определяется в большей степени киральными компонентами тензора нелинейной диэлектрической восприимчивости и пропорциональна четвертой степени длины полуоси частицы, если форма сфероидальной частицы существенно отличается от сферической. Решение данной задачи, полученное другими авторами, дополнено для возможности применения к описанию генерации в поверхностном слое диэлектрической частицы не только в форме вытянутого, но и в форме сплюснутого сфероида. Предложены исправления неточностей и опечаток, допущенных в аналогичных работах других авторов. Найдена связь формул, использованных в указанных работах с учетом исправлений, и формул, использованных в настоящей работе.

Ключевые слова: генерация второй гармоники, диэлектрическая сфероидальная частица, обобщенная модель Рэлея–Ганса–Дебая, приближение малых частиц, киральная компонента.

DOI: 10.21883/OS.2022.07.52725.3228-22

Введение

Генерация второй гармоники зарекомендовала себя как незаменимый инструмент при исследованиях микро- и наноразмерных объектов, в том числе в медицине и биологии. С ее помощью появляется возможность не только визуализировать живые клетки, ткани, коллагеновые волокна [1], но и изучать свойства поверхностей диэлектрических частиц [2], а также адсорбированных на них молекул [3].

В соответствии с результатами ранее произведенных исследований на нелинейный отклик металлических и диэлектрических частиц напрямую влияет их размер и форма [4]. Наиболее часто в научной литературе рассматривается генерация второй гармоники именно в частицах сферической (как наиболее простой и симметричной) формы [2–5]. Гораздо реже встречаются работы, посвященные генерации в частицах, имеющих одну ось симметрии: сфероидальной [6] и цилиндрической форм [7–10]. Это объясняется повышенными требованиями к используемому математическому аппарату и производительности вычислительных средств. Осесимметричные частицы находят применение при создании метаматериалов, в которых возможно усиление нелиней-

ного сигнала [11] и управление интенсивностью электромагнитных волн, проходящих через границы раздела сред [12].

Частицы в форме эллипсоида вращения (сфероида) являются обобщением сферических частиц. Под действием внешних сил сферические частицы могут деформироваться и приобретать сфероидальную форму. Более того, формирование диэлектрических частиц идеальной сферической формы практически невозможно из-за наличия неровностей на поверхности таких частиц. Эта проблема особенно актуальна при формировании частиц предельно малых размеров (диаметром 100 нм и меньше), когда возникающие отклонения сравнимы с линейными размерами частиц [13]. Насколько нам известно, на данный момент не существует достаточно полной аналитической модели нелинейной генерации в поверхностном слое сфероидальных диэлектрических частиц.

Целью настоящей работы является аналитическое описание и выявление закономерностей генерации второй гармоники в поверхностном слое диэлектрических частиц, имеющих форму эллипсоида вращения, с использованием обобщенной модели Рэлея–Ганса–Дебая [4], хорошо зарекомендовавшей себя при описа-

нии нелинейной генерации в сферических диэлектрических частицах.

В первой части настоящей работы:

- приведены формулы, характеризующие пространственное распределение генерируемого излучения,
- произведен анализ предельных форм использованных математических функций при малых размерах сфероидальной частицы,
- найдена связь полученных выражений с формулами в задаче о генерации второй гармоники в поверхностном слое сферической частицы,
- произведено сравнение с результатами, полученными другими авторами.

Во второй части:

- с помощью трехмерных диаграмм направленности проиллюстрировано пространственное распределение генерируемого излучения при ключевых значениях параметров задачи,
- указаны математические свойства используемых функций, характеризующие симметрию диаграмм направленности,
- охарактеризовано влияние отдельных параметров на форму диаграммы направленности,
- предложены методы использования условий отсутствия генерации и условий генерации линейно поляризованного излучения для избирательного определения независимых компонент тензора нелинейной диэлектрической восприимчивости.

Постановка задачи

Пусть генерация второй гармоники происходит в тонком оптически нелинейном слое, равномерно распределенном по поверхности диэлектрической частицы, имеющей форму эллипсоида вращения. Обозначим символом a_z длину полуоси эллипсоида вдоль оси его симметрии, а символом a_x — длину полуоси, перпендикулярной оси симметрии. Для отношения указанных величин введем обозначение $\rho = a_z/a_x$. Если $\rho > 1$, то частица имеет форму вытянутого эллипсоида вращения, который можно получить из сферической формы посредством растяжения вдоль предполагаемой оси симметрии. Если $\rho < 1$, то частица имеет форму сжатого эллипсоида вращения, полученную из сферической формы посредством сжатия вдоль выбранной оси симметрии. Если же $\rho = 1$, то форма частицы сферическая. Толщину оптически нелинейного слоя d_0 выберем таким образом, чтобы выполнялись условия $d_0 \ll a_x, d_0 \ll a_z$.

По аналогии с рассуждениями, описанными в статьях [5,8], зададим вектор напряженности электрического поля падающей плоской электромагнитной волны в точке, характеризующей радиусом-вектором \mathbf{x} , следующим выражением:

$$\mathbf{E}(\mathbf{x}) = E_0 \mathbf{e}^{(\omega)} \exp(i\mathbf{k}^{(\omega)} \mathbf{x}), \quad (1)$$

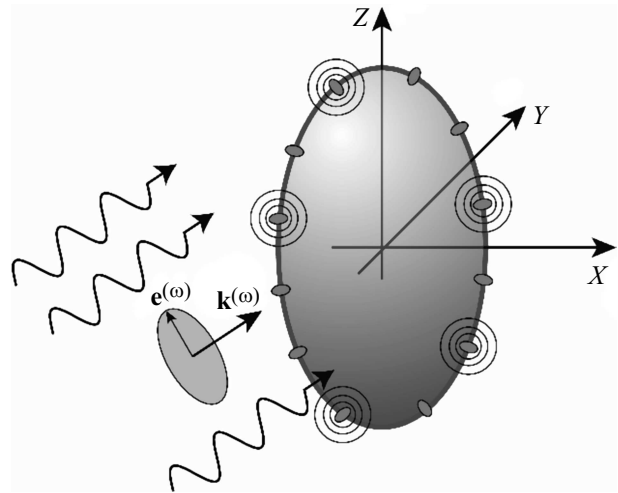


Схема задачи о генерации второй гармоники в поверхностном слое сфероидальной частицы.

где E_0 и $\mathbf{e}^{(\omega)}$ — комплексная амплитуда и единичный вектор поляризации соответственно, волновой вектор обозначен символом $\mathbf{k}^{(\omega)}$. Здесь и далее подразумевается временная часть $\exp(-i\omega t)$, где ω — циклическая частота возбуждающего излучения, а символ i , не входящий в состав индексов, означает мнимую единицу. Схема задачи изображена на рисунке.

При использовании модели на основе обобщенного приближения Рэлея–Ганса–Дебая рассеянные электромагнитные волны не учитываются в расчетах. Подобную модель можно использовать, если показатели преломления диэлектрика внутри и вне частицы достаточно близки по значению [5]:

$$\left| \frac{n_p}{n_m} - 1 \right| \ll 1, \quad 4\pi \frac{R}{\lambda} \left| \frac{n_p}{n_m} - 1 \right| \ll 1, \quad (2)$$

где n_p и n_m — показатели преломления сред частицы и окружающей ее среды соответственно, R — характерный размер частицы (например, длина большой полуоси), λ — длина волны возбуждающего излучения в вакууме.

Тогда для элементарного участка поверхностного слоя, в соответствии с дипольной моделью, компоненты вектора $\mathbf{P}^{(2)}$ — нелинейной части вектора поляризации, ответственной за нелинейную генерацию второго порядка, могут быть найдены с использованием правила суммирования по повторяющимся индексам по формуле

$$P_i^{(2)} = \chi_{ijk}^{(2)} E_j E_k, \quad (3)$$

где E_j, E_k — j -я и k -я компоненты вектора напряженности электрического поля возбуждающего излучения соответственно. Тензор $\chi_{ijk}^{(2)}$ для явления генерации второй гармоники содержит только четыре независимые компоненты ($\chi_{1-3}^{(2)}$ — некиральные, $\chi_4^{(2)}$ — киральная) и в компонентной форме может быть записан в виде

выражения

$$\begin{aligned} \chi_{ijk}^{(2)} = & \chi_1^{(2)} n_i n_j n_k + \chi_2^{(2)} n_i \delta_{jk} + \chi_3^{(2)} (n_j \delta_{ki} + n_k \delta_{ij}) \\ & + \chi_4^{(2)} n_m (n_k \varepsilon_{ijm} - n_j \varepsilon_{imk}). \end{aligned} \quad (4)$$

Здесь n_i, n_j, n_k, n_m — компоненты единичного вектора нормали к элементарному участку поверхности, $\delta_{jk}, \delta_{ki}, \delta_{ij}$ — дельта-символы Кронекера, $\varepsilon_{ijm}, \varepsilon_{imk}$ — символы Леви-Чивита. Нижние индексы в формуле (4) могут принимать значения x, y, z , соответствующие осям правой ортонормированной системы координат. В настоящей работе рассматривается только случай действительных значений компонент $\chi_{1-4}^{(2)}$.

Требуется получить и проанализировать формулы, характеризующие пространственное распределение и мощность излучения удвоенной частоты в дальней зоне, генерируемого в поверхностном оптически нелинейном слое сфероидальной диэлектрической частицы плоской эллиптически поляризованной электромагнитной волной.

Напряженность электрического поля второй гармоники

Компоненты вектора напряженности электрического поля второй гармоники в дальней зоне можно найти, пользуясь выражением

$$\begin{aligned} E_i^{(2\omega)}(\mathbf{x}) = & \mu_{2\omega} \frac{(2\omega)^2}{c^2} \frac{\exp(ik_{2\omega}r)}{r} d_0 (\delta_{im} - e_{r,i} e_{r,m}) e_j^{(\omega)} e_k^{(\omega)} \\ & \times \int_S \exp(i\mathbf{x}'\mathbf{q}(\mathbf{x})) \chi_{mjk}^{(2)}(\mathbf{x}') dS_{\mathbf{x}'}. \end{aligned} \quad (5)$$

Формула (5), полученная в работах [4,5,8] с использованием метода функции Грина, применима для вычисления напряженности электрического поля излучения, генерируемого в поверхностном слое диэлектрической частицы любой формы. Интегрирование при этом должно производиться по всей площади S поверхности частицы, покрытой оптически нелинейным слоем. Обозначения в выражении (5) следующие: $\mu_{2\omega}$ — магнитная проницаемость окружающей среды, $k_{2\omega}$ — модуль волнового вектора $\mathbf{k}^{(2\omega)}$ генерируемой волны, $r = |\mathbf{x}|$ — расстояние от геометрического центра диэлектрической частицы до точки наблюдения, $e_{r,i}, e_{r,m}$ — компоненты единичного вектора \mathbf{e}_r , направленного от центра частицы к точке наблюдения, \mathbf{x}' — вектор, направленный от центра частицы к элементу ее поверхности, $\mathbf{q}(\mathbf{x})$ — вектор рассеяния, определяемый по формуле

$$\begin{aligned} \mathbf{q}(\mathbf{x}) = & 2\mathbf{k}^{(\omega)} - \mathbf{k}^{(2\omega)}(\mathbf{x}), \\ \mathbf{k}^{(2\omega)} = & \mathbf{k}^{(2\omega)}(\mathbf{x}) = k_{2\omega} \frac{\mathbf{x}}{r}. \end{aligned} \quad (6)$$

При подстановке (4) в выражение (5) возникает необходимость в вычислении следующих интегралов по поверхности эллипсоида вращения:

$$I(n_i|\mathbf{x}) = \frac{1}{a_x^2} \int_S \exp(i\mathbf{x}'\mathbf{q}(\mathbf{x})) n_i(\mathbf{x}') dS_{\mathbf{x}'},$$

$$I(n_i n_j|\mathbf{x}) = \frac{1}{a_x^2} \int_S \exp(i\mathbf{x}'\mathbf{q}(\mathbf{x})) n_i(\mathbf{x}') n_j(\mathbf{x}') dS_{\mathbf{x}'},$$

$$I(n_i n_j n_k|\mathbf{x}) = \frac{1}{a_x^2} \int_S \exp(i\mathbf{x}'\mathbf{q}(\mathbf{x})) n_i(\mathbf{x}') n_j(\mathbf{x}') n_k(\mathbf{x}') dS_{\mathbf{x}'}. \quad (7)$$

Важным свойством интегралов (7) является перестановочная симметрия:

$$I(n_i n_j|\mathbf{x}) = I(n_j n_i|\mathbf{x}), \quad (8)$$

$$I(n_i n_j n_k|\mathbf{x}) = I(n_i n_k n_j|\mathbf{x}), \quad I(n_i n_j n_k|\mathbf{x}) = I(n_j n_i n_k|\mathbf{x}). \quad (9)$$

Тогда выражение для компонент вектора напряженности электрического поля можно записать в виде

$$\begin{aligned} E_i^{(2\omega)}(\mathbf{x}) = & \mu_{2\omega} \frac{(2\omega)^2}{c^2} \frac{\exp(ik_{2\omega}r)}{r} \\ & \times d_0 a_x^2 (\delta_{im} - e_{r,i} e_{r,m}) e_j^{(\omega)} e_k^{(\omega)} X_{mjk}^{(2\omega)}(\mathbf{x}), \end{aligned} \quad (10)$$

где $X_{mjk}^{(2\omega)}$ — тензор эффективной нелинейной диэлектрической восприимчивости [5], выраженный через интегралы (7) следующим образом:

$$\begin{aligned} X_{mjk}^{(2\omega)}(\mathbf{x}) = & \chi_1^{(2)} I(n_m n_j n_k|\mathbf{x}) + \chi_2^{(2)} I(n_m|\mathbf{x}) \delta_{jk} \\ & + \chi_3^{(2)} (I(n_j|\mathbf{x}) \delta_{km} + I(n_k|\mathbf{x}) \delta_{mj}) \\ & + \chi_4^{(2)} (I(n_p n_k|\mathbf{x}) \varepsilon_{mjp} - I(n_p n_j|\mathbf{x}) \varepsilon_{mpk}). \end{aligned} \quad (11)$$

Наибольшую сложность при вычислении напряженности электрического поля генерируемого излучения представляет именно определение явного вида интегралов, указанных в формулах (7).

Явный вид вспомогательных интегралов

Введем декартову систему координат (x, y, z) , центр которой расположен в геометрическом центре диэлектрической частицы, а ось Oz направлена вдоль ее оси симметрии (рисунок). Тогда уравнение, описывающее поверхность эллипсоидальной частицы с полуосями a_x, a_x, a_z , математически можно задать в виде

$$\frac{x^2}{a_x^2} + \frac{y^2}{a_x^2} + \frac{z^2}{a_z^2} = 1. \quad (12)$$

Для вычисления интегралов (7) удобно перейти к параметрической форме уравнения указанной поверхности:

$$\mathbf{x}' = a_x \sin \theta' \cos \varphi' \mathbf{e}_x + a_x \sin \theta' \sin \varphi' \mathbf{e}_y + a_z \cos \theta' \mathbf{e}_z, \quad (13)$$

где \mathbf{x}' — радиус-вектор элемента поверхности эллипсоида вращения, θ', φ' — его угловые координаты, $\mathbf{e}_x, \mathbf{e}_y, \mathbf{e}_z$ — базисные векторы декартовой системы координат.

Пользуясь выражением (13), найдем зависимость единичного вектора нормали к поверхности частицы от угловых координат θ', φ' :

$$\begin{aligned} \mathbf{n} &= \frac{\left[\frac{\partial \mathbf{x}'}{\partial \theta'} \times \frac{\partial \mathbf{x}'}{\partial \varphi'} \right]}{\left| \frac{\partial \mathbf{x}'}{\partial \theta'} \times \frac{\partial \mathbf{x}'}{\partial \varphi'} \right|} \\ &= \frac{a_z \sin \theta' \cos \varphi' \mathbf{e}_x + a_z \sin \theta' \sin \varphi' \mathbf{e}_y + a_x \cos \theta' \mathbf{e}_z}{\sqrt{a_z^2 \sin^2 \theta' + a_x^2 \cos^2 \theta'}} \\ &= \frac{\rho \sin \theta' \cos \varphi' \mathbf{e}_x + \rho \sin \theta' \sin \varphi' \mathbf{e}_y + \cos \theta' \mathbf{e}_z}{\sqrt{\rho^2 \sin^2 \theta' + \cos^2 \theta'}}. \end{aligned} \tag{14}$$

Площадь элементарного участка поверхности в интегралах (7) также вычисляется на основании выражения для радиус-вектора (13):

$$\begin{aligned} dS_{\mathbf{x}'} &= |d\mathbf{S}_{\mathbf{x}'}| = \left| \frac{\partial \mathbf{x}'}{\partial \theta'} \times \frac{\partial \mathbf{x}'}{\partial \varphi'} \right| d\theta' d\varphi' \\ &= a_x \sin \theta' \sqrt{a_z^2 \sin^2 \theta' + a_x^2 \cos^2 \theta'} d\theta' d\varphi'. \end{aligned} \tag{15}$$

Компоненты вектора рассеяния \mathbf{q} определим следующим выражением:

$$\mathbf{q} = q_x \mathbf{e}_x + q_y \mathbf{e}_y + q_z \mathbf{e}_z. \tag{16}$$

Подставляя (13)–(16) в (7), получаем более подробную запись вспомогательных интегралов, зависящих от \mathbf{x} :

$$\begin{aligned} I(n_i|\mathbf{x}) &= \frac{1}{a_x^2} \int_S \exp(i\mathbf{x}'\mathbf{q}(\mathbf{x})) n_i(\mathbf{x}') dS_{\mathbf{x}'} \\ &= \frac{1}{a_x^2} \int_{-\pi}^{\pi} \int_0^{\pi} \exp(iq_x a_x \sin \theta' \cos \varphi' + iq_y a_x \sin \theta' \sin \varphi' + iq_z a_z \cos \theta') \\ &\quad \times n_i(\theta', \varphi') a_x \sin \theta' \sqrt{a_z^2 \sin^2 \theta' + a_x^2 \cos^2 \theta'} d\theta' d\varphi' \\ &= \int_0^{\pi} \exp(iq_z a_z \cos \theta') \sqrt{\rho^2 \sin^2 \theta' + \cos^2 \theta'} \sin \theta' \\ &\quad \times \int_{-\pi}^{\pi} \exp(iq_x a_x \sin \theta' \cos \varphi' + iq_y a_x \sin \theta' \sin \varphi') \\ &\quad \times n_i(\theta', \varphi') d\varphi' d\theta', \end{aligned} \tag{17}$$

$$\begin{aligned} I(n_i n_j|\mathbf{x}) &= \int_0^{\pi} \exp(iq_z a_z \cos \theta') \sqrt{\rho^2 \sin^2 \theta' + \cos^2 \theta'} \sin \theta' \\ &\quad \times \int_{-\pi}^{\pi} \exp(iq_x a_x \sin \theta' \cos \varphi' + iq_y a_x \sin \theta' \sin \varphi') \\ &\quad \times n_i(\theta', \varphi') n_j(\theta', \varphi') d\varphi' d\theta', \end{aligned} \tag{18}$$

$$\begin{aligned} I(n_i n_j n_k|\mathbf{x}) &= \int_0^{\pi} \exp(iq_z a_z \cos \theta') \sqrt{\rho^2 \sin^2 \theta' + \cos^2 \theta'} \sin \theta' \\ &\quad \times \int_{-\pi}^{\pi} \exp(iq_x a_x \sin \theta' \cos \varphi' + iq_y a_x \sin \theta' \sin \varphi') \\ &\quad \times n_i(\theta', \varphi') n_j(\theta', \varphi') n_k(\theta', \varphi') d\varphi' d\theta'. \end{aligned} \tag{19}$$

Вычисление интегралов (17)–(19) аналитически возможно с использованием бесконечных рядов, что ранее было частично сделано авторами работы [6]. При этом все комбинации значений компонент (при i, j, k , равных x, y, z) необходимо рассматривать отдельно. Преобразования, необходимые для получения явного вида указанных интегралов, имеют достаточно громоздкий вид, поэтому приведем результат сразу. Для этого введем функцию $M_{2s, c, q}(z_1, z_2, \rho)$ с помощью следующего выражения:

$$\begin{aligned} M_{2s, c, q}(z_1, z_2, \rho) &= \frac{4\pi i^{2\{q/2\}-c}}{\rho^{2s+c+q-1}} \sum_{g=0}^{\infty} \sum_{n=0}^{\infty} \sum_{m=0}^s \\ &\quad \times \sum_{k=0}^{s-m-2m+c} \sum_{l=0}^{m+k} (-1)^{k+l+g} (2(q/2 + \{q/2\} + n + g + k) - 1)!! \\ &\quad \times \binom{-(c+q-1)/2-s}{n} \binom{s}{m, k, s-m-k} \\ &\quad \times \left(\frac{2m+c}{l} \right) \left(\frac{1}{\rho^2} - 1 \right)^n (q/2 + \{q/2\} + n + g + k)_l \\ &\quad \times \frac{j_{q/2+\{q/2\}+n+g+k}^{(2m+c-l)}(z_1)}{z_1^{q/2+\{q/2\}+n+g+k+l}} \frac{z_2^{2g+2\{q/2\}}}{(2g+2\{q/2\})!}. \end{aligned} \tag{20}$$

Обозначения в формуле (20) следующие:

- все символы с точкой внизу ($s, c, q, g, n, m, k, l, d$) являются вспомогательными неотрицательными целыми индексами;
- $\{z\}$ означает дробную часть числа z ;
- $(n)_l = \frac{\Gamma(n+l)}{\Gamma(n)}$ — символ Похгаммера, выраженный через гамма-функцию;

$$-\binom{s}{m} = \frac{s!}{s!(s-m)!}$$
 и
$$\binom{s}{m, k, s-m-k} = \frac{s!}{m!k!(s-m-k)!}$$
 — биномиальный и мультиномиальный коэффициенты соответственно;

$$-j_n^{(d)}(z) = \frac{\partial^d j_n(z)}{\partial z^d}$$
 — производная d -го порядка от сферической функции Бесселя порядка n .

Бесконечный ряд по n в (20) сходится только при $\rho^2 > 1/2$. Доказательство этого факта приведено в Приложении А. Аналогичным образом доказывается, что бесконечный ряд в (20) при суммировании по индексам n и g сходится при любых значениях z_1 и z_2 .

В случае, когда ряд в формуле (20) расходится, необходимо использовать другую форму функции $M_{2s,c,q}(z_1, z_2, \rho)$:

$$\begin{aligned}
 M_{2s,c,q}(z_1, z_2, \rho) &= 4\pi i^{2\{q/2\}-c} \sum_{g=0}^{\infty} \sum_{n=0}^{\infty} \sum_{m=0}^s \sum_{k=0}^{s-m} \sum_{l=0}^{2m+c} \\
 &\times \sum_{d=0}^n (-1)^{k+l+g+d} (2\{q/2\} + d + g + k - 1)!! \\
 &\times \binom{-(c+q-1)/2-s}{-(c+q-1)/2-s-n, n-d, d} \\
 &\times \binom{s}{m, k, s-m-k} \binom{2m+c}{l} \\
 &\times (\rho^2 - 1)^n (q/2 + \{q/2\} + d + g + k)_l \\
 &\times \frac{j_{q/2+\{q/2\}+d+g+k}^{(2m+c-l)}(z_1)}{z_1^{q/2+\{q/2\}+d+g+k+l}} \frac{z_2^{2g+2\{q/2\}}}{(2g+2\{q/2\})!},
 \end{aligned} \tag{21}$$

где используются обозначения, аналогичные обозначениям для формулы (20). Индекс d также принимает целые неотрицательные значения, как и остальные индексы. Область сходимости бесконечного ряда при суммировании по n в (21) ограничена условием $0 < \rho^2 < 2$. Доказательство аналогично приведенному в Приложении А.

Таким образом, при $\rho^2 \geq 2$ для функции $M_{2s,c,q}(z_1, z_2, \rho)$ необходимо использовать форму записи (20), при $0 < \rho^2 \leq 1/2$ — только форму (21), а при выполнении условия $1/2 < \rho^2 < 2$, $\rho \neq 1$ — любую из формул (20) или (21). Когда $\rho = 1$, в формулах (20) и (21) возникает неопределенность 0^0 , поэтому использовать их невозможно. В этом случае частица имеет форму шара, следовательно, необходимо использовать формулы, полученные в работе [5], где описана генерация второй гармоники в поверхностном слое сферической частицы. При использовании любой из формул (20), (21) наблюдается закономерность: чем меньше значение $|\rho^2 - 1|$, тем меньше слагаемых в бесконечных суммах по n и g необходимо для достижения требуемой точности значения функции $M_{2s,c,q}(z_1, z_2, \rho)$. Анализируя формулы (20), (21), можно заметить, что в зависимости от значений индексов

функция $M_{2s,c,q}(z_1, z_2, \rho)$ принимает действительные ($c + q$ — четное) или чисто мнимые ($c + q$ — нечетное) значения.

С использованием функции $M_{2s,c,q}(z_1, z_2, \rho)$ выражения для интегралов (17)–(19) принимают следующий вид:

$$I((n_z)^m | \mathbf{x}) = M_{0,0,m}(q_{\perp}(\mathbf{x})a_x, q_z(\mathbf{x})a_z, \rho), \quad m = 1, 2, 3, \tag{22}$$

$$I((n_z)^m n_i | \mathbf{x}) = \rho M_{0,1,m}(q_{\perp}(\mathbf{x})a_x, q_z(\mathbf{x})a_z, \rho) v_i, \quad m = 0, 1, 2, \tag{23}$$

$$\begin{aligned}
 I((n_z)^m n_i n_j | \mathbf{x}) &= \rho^2 (M_{0,2,m}(q_{\perp}(\mathbf{x})a_x, q_z(\mathbf{x})a_z, \rho) \\
 &- M_{2,0,m}(q_{\perp}(\mathbf{x})a_x, q_z(\mathbf{x})a_z, \rho)) v_i v_j \\
 &+ \rho^2 M_{2,0,m}(q_{\perp}(\mathbf{x})a_x, q_z(\mathbf{x})a_z, \rho) \delta_{ij}, \quad m = 0, 1,
 \end{aligned} \tag{24}$$

$$\begin{aligned}
 I(n_i n_j n_k | \mathbf{x}) &= \rho^3 (M_{0,3,0}(q_{\perp}(\mathbf{x})a_x, q_z(\mathbf{x})a_z, \rho) \\
 &- 3M_{2,1,0}(q_{\perp}(\mathbf{x})a_x, q_z(\mathbf{x})a_z, \rho)) v_i v_j v_k \\
 &+ \rho^3 M_{2,1,0}(q_{\perp}(\mathbf{x})a_x, q_z(\mathbf{x})a_z, \rho) (v_i \delta_{jk} + v_j \delta_{ki} + v_k \delta_{ij}).
 \end{aligned} \tag{25}$$

Здесь возможные значения для m указаны в соответствующих формулах, индексы i, j, k могут принимать значения x или y , величина q_{\perp} — модуль составляющей вектора рассеяния \mathbf{q} , перпендикулярной оси симметрии частицы, q_z — проекция вектора рассеяния \mathbf{q} на ось Oz декартовой системы координат, v_i, v_j, v_k — компоненты единичного вектора \mathbf{v} , направленного вдоль вектора \mathbf{q}_{\perp} :

$$q_z = \mathbf{q} \mathbf{e}_z, \quad \mathbf{q}_{\perp} = \mathbf{q} - q_z \mathbf{e}_z, \quad q_{\perp} = |\mathbf{q}_{\perp}|, \quad \mathbf{v} = \mathbf{q}_{\perp} / q_{\perp}. \tag{26}$$

Формулы (22)–(25) проверены численным интегрированием при случайных значениях параметров для всех возможных комбинаций индексов i, j, k .

Благодаря представлению формул (22)–(25) в компактной форме удалось избежать покомпонентной записи каждого из интегралов (17)–(19) при различных значениях индексов i, j, k . Однако для удобства последующего сравнения с решением аналогичной задачи, описанным в работе [6], в Приложении Б приведены значения интегралов I при всех возможных значениях индексов i, j, k, m .

Заметим, что интегралы $I(n_i | \mathbf{x})$ и $I(n_i n_j n_k | \mathbf{x})$ принимают действительные значения, а интегралы $I(n_i n_j | \mathbf{x})$ — чисто мнимые. Это объясняется особенностями функций $M_{2s,c,q}(z_1, z_2, \rho)$: функции $M_{0,0,1}$, $M_{0,1,0}$, используемые при записи интегралов $I(n_i | \mathbf{x})$, и функции $M_{0,0,3}$, $M_{0,2,1}$, $M_{2,0,1}$, $M_{2,1,0}$, $M_{0,3,0}$, используемые при записи интегралов $I(n_i n_j n_k | \mathbf{x})$, принимают мнимые значения, а функции $M_{0,1,1}$, $M_{0,0,2}$, $M_{2,0,0}$, $M_{0,2,0}$, входящие в состав выражений для $I(n_i n_j | \mathbf{x})$, принимают действительные значения.

Предельные формы функций M

Предельные формы функций M при $\rho \rightarrow 1$

Функция $M_{2s,c,q}(z_1, z_2, \rho)$ при предельных значениях отдельных параметров принимает более простой вид и может быть связана с уже известными функциями, используемыми при решении задач о нелинейной генерации.

Если $\rho \rightarrow 1$, то формулы (20) и (21) принимают вид

$$\begin{aligned} \lim_{\rho \rightarrow 1} M_{2s,c,q}(z_1, z_2, \rho) &= 4\pi i^{2\{q/2\}-c} \sum_{g=0}^{\infty} \sum_{m=0}^s \sum_{k=0}^{s-m} \sum_{l=0}^{2m+c} \\ &\times (-1)^{k+l+g} (2(q/2 + \{q/2\} + g + k) - 1)!! \\ &\times \binom{s}{m, k, s-m-k} \binom{2m+c}{l} \\ &\times (q/2 + \{q/2\} + g + k)_l \\ &\times \frac{j_{q/2+\{q/2\}+g+k}^{(2m+c-l)}(z_1)}{z_1^{q/2+\{q/2\}+g+k+l}} \frac{z_2^{2g+2\{q/2\}}}{(2g+2\{q/2\})!}. \end{aligned} \quad (27)$$

Здесь удалось избежать суммирования по индексу n , потому что все слагаемые при $n > 0$ обращаются в ноль.

При отдельных значениях индексов s, c, q предел $\lim_{\rho \rightarrow 1} M_{2s,c,q}(z_1, z_2, \rho)$ в (27) после упрощения принимает следующие формы (здесь $Z = \sqrt{z_1^2 + z_2^2}$):

$$\lim_{\rho \rightarrow 1} M_{0,0,1}(z_1, z_2, \rho) = 4\pi i \frac{z_2}{Z} j_1(Z), \quad (28)$$

$$\begin{aligned} \lim_{\rho \rightarrow 1} M_{0,0,2}(z_1, z_2, \rho) &= 4\pi \left[\frac{1}{3}(j_0(Z) + j_2(Z)) - \left(\frac{z_2}{Z}\right)^2 j_2(Z) \right], \end{aligned} \quad (29)$$

$$\begin{aligned} \lim_{\rho \rightarrow 1} M_{0,0,3}(z_1, z_2, \rho) &= 4\pi i \left[\frac{3}{5}(j_1(Z) + j_3(Z)) \frac{z_2}{Z} - j_3(Z) \left(\frac{z_2}{Z}\right)^3 \right], \end{aligned} \quad (30)$$

$$\lim_{\rho \rightarrow 1} M_{0,1,0}(z_1, z_2, \rho) = 4\pi i \frac{z_1}{Z} j_1(Z), \quad (31)$$

$$\lim_{\rho \rightarrow 1} M_{0,1,1}(z_1, z_2, \rho) = -4\pi \frac{z_1 z_2}{Z^2} j_2(Z), \quad (32)$$

$$\begin{aligned} \lim_{\rho \rightarrow 1} M_{0,1,2}(z_1, z_2, \rho) &= 4\pi i \frac{z_1}{Z} \left[\frac{1}{5}(j_1(Z) + j_3(Z)) - j_3(Z) \left(\frac{z_2}{Z}\right)^2 \right], \end{aligned} \quad (33)$$

$$\lim_{\rho \rightarrow 1} M_{2,0,0}(z_1, z_2, \rho) = 4\pi \frac{1}{3}(j_0(Z) + j_2(Z)), \quad (34)$$

$$\lim_{\rho \rightarrow 1} M_{2,0,1}(z_1, z_2, \rho) = 4\pi i \frac{1}{5} \frac{z_2}{Z} (j_1(Z) + j_3(Z)), \quad (35)$$

$$\begin{aligned} \lim_{\rho \rightarrow 1} M_{0,2,0}(z_1, z_2, \rho) &= 4\pi \left(\frac{1}{3}(j_0(Z) + j_2(Z)) - j_2(Z) \left(\frac{z_1}{Z}\right)^2 \right), \end{aligned} \quad (36)$$

$$\begin{aligned} \lim_{\rho \rightarrow 1} M_{0,2,1}(z_1, z_2, \rho) &= 4\pi i \frac{z_2}{Z} \left(\frac{1}{5}(j_1(Z) + j_3(Z)) - j_3(Z) \left(\frac{z_1}{Z}\right)^2 \right), \end{aligned} \quad (37)$$

$$\lim_{\rho \rightarrow 1} M_{2,1,0}(z_1, z_2, \rho) = 4\pi i \frac{1}{5} (j_1(Z) + j_3(Z)) \frac{z_1}{Z}, \quad (38)$$

$$\begin{aligned} \lim_{\rho \rightarrow 1} M_{0,3,0}(z_1, z_2, \rho) &= 4\pi i \frac{z_1}{Z} \left(\frac{3}{5}(j_1(Z) + j_3(Z)) - j_3(Z) \left(\frac{z_1}{Z}\right)^2 \right). \end{aligned} \quad (39)$$

В формулах (28)–(39) рассмотрены только те значения индексов, которые встречаются при записи формул для интегралов (22)–(25).

Подставляя (28)–(39) в формулы (22)–(25), а результат в формулу (11), получим выражение для тензора эффективной восприимчивости $X_{ijk}^{(2\omega)}$, которое совпадает с аналогичной величиной в работе [5] для генерации второй гармоники в поверхностном слое сферической частицы, что согласуется с принципом соответствия.

Предельные формы функции M при $z_2 \rightarrow 0$

Проанализируем значение функции $M_{2s,c,q}(z_1, z_2, \rho)$ при малых значениях z_1 и z_2 . Условие $z_2 \rightarrow 0$ в рассматриваемой задаче соответствует случаю, когда $q_z(\mathbf{x})a_z \rightarrow 0$. Он имеет место, когда длина полуоси a_z пренебрежимо мала по сравнению с длиной волны возбуждающего излучения или излучение генерируется в направлениях, где проекция вектора рассеяния $q_z(\mathbf{x})$ близка к нулю. Условие $z_1 \rightarrow 0$ может выполняться, если $q_{\perp}(\mathbf{x})a_x \rightarrow 0$. В этом случае длина полуоси a_x мала по сравнению с длиной волны падающей электромагнитной волны или генерация происходит в направлениях, где модуль проекции вектора рассеяния на плоскость, перпендикулярную оси симметрии частицы, стремится к нулю.

При $z_2 \rightarrow 0$ в сумме по индексу g все слагаемые, содержащие множитель $z_2^{2g+2\{q/2\}}$ при $g > 0$, пренебрежимо малы по сравнению со слагаемыми при $g = 0$, следовательно, функция $M_{2s,c,q}(z_1, z_2, \rho)$ может быть

записана в виде

$$\begin{aligned}
 M_{2s,c,q}(z_1, z_2, \rho) &= \frac{4\pi i^{2\{q/2\}-c}}{\rho^{2s+c+q-1}} \sum_{n=0}^{\infty} \sum_{m=0}^s \\
 &\times \sum_{k=0}^{s-m} \sum_{l=0}^{2m+c} (-1)^{k+l} (2(q/2 + \{q/2\} + n + k) - 1)!! \\
 &\times \binom{-(c+q-1)/2-s}{n} \binom{s}{m, k, s-m-k} \\
 &\times \binom{2m+c}{l} \left(\frac{1}{\rho^2} - 1\right)^n (q/2 + \{q/2\} + n + k)_l \\
 &\times \frac{j_{q/2+\{q/2\}+n+k}^{(2m+c-l)}(z_1)}{z_1^{q/2+\{q/2\}+n+k+l}} \frac{z_2^{2\{q/2\}}}{(2\{q/2\})!}. \tag{40}
 \end{aligned}$$

Выражение (40) получено из формулы (20), поэтому применимо только при $\rho^2 > 1/2$. Рассуждая аналогично на основе формулы (21), получаем, что при $\rho^2 < 2$ функция $M_{2s,c,q}(z_1, z_2, \rho)$ может быть записана как

$$\begin{aligned}
 M_{2s,c,q}(z_1, z_2, \rho) &= 4\pi i^{2\{q/2\}-c} \sum_{n=0}^{\infty} \sum_{m=0}^s \sum_{k=0}^{s-m} \sum_{l=0}^{2m+c} \\
 &\times \sum_{d=0}^n (-1)^{k+l+d} (2(q/2 + \{q/2\} + d + k) - 1)!! \\
 &\times \binom{-(c+q-1)/2-s}{-(c+q-1)/2-s-n, n-d, d} \\
 &\times \binom{s}{m, k, s-m-k} \binom{2m+c}{l} \\
 &\times (\rho^2 - 1)^n (q/2 + \{q/2\} + d + k)_l \\
 &\times \frac{j_{q/2+\{q/2\}+d+k}^{(2m+c-l)}(z_1)}{z_1^{q/2+\{q/2\}+d+k+l}} \frac{z_2^{2\{q/2\}}}{(2\{q/2\})!}. \tag{41}
 \end{aligned}$$

Из формул (40) и (41) следует, что $M_{2s,c,q}(z_1, z_2, \rho) \propto z_2^{2\{q/2\}}$. Это означает, что при четных значениях q функция $M_{2s,c,q}(z_1, z_2, \rho)$ не зависит от z_2 , а при нечетных — $M_{2s,c,q}(z_1, z_2, \rho) \propto z_2$.

Предельные формы функции M при $z_1 \rightarrow 0$

Проанализируем зависимость функции M от z_1 . Для этого понадобится разложение в ряд соответствующего множителя, содержащего сферическую функцию Бесселя [14] и зависящего от z_1 :

$$\begin{aligned}
 \frac{j_n^{(d)}(z_1)}{z_1^m} &= z_1^{-m} \frac{\partial^d}{\partial z^d} \left(\sum_{p=0}^{\infty} \frac{(-1)^p z_1^{n+2p}}{2^p p! (2n+2p+1)!!} \right) \\
 &= \sum_{p=0}^{\infty} \frac{(-1)^p (n-d+2p+1)_d}{2^p p! (2n+2p+1)!!} z_1^{n-d-m+2p}. \tag{42}
 \end{aligned}$$

Подставляя формулу (42) в (20) и упрощая полученное выражение с учетом $z_1 \rightarrow 0$, получим, что $M_{2s,c,q}(z_1, z_2, \rho) \propto z_1^{2\{c/2\}}$. Подробные преобразования не приведены в работе ввиду их большого объема. Получаем, что при четных значениях c функция $M_{2s,c,q}(z_1, z_2, \rho)$ не зависит от переменной z_1 , а при нечетных значениях c функция $M_{2s,c,q}(z_1, z_2, \rho)$ пропорциональна z_1 .

Несложно убедиться в указанных закономерностях, рассматривая упрощенный вид функций $M_{2s,c,q}(z_1, z_2, \rho)$ при фиксированных значениях параметров s, c, q , записанных в Приложении В, или при $\rho \rightarrow 1$ (формулы (28)–(39)), а также посредством численных расчетов при произвольных значениях аргументов функции $M_{2s,c,q}(z_1, z_2, \rho)$.

Предельные формы функции M при $z_1 \rightarrow 0$ и $z_2 \rightarrow 0$

В случае, когда одновременно z_1 и z_2 принимают малые значения, верна формула

$$M_{2s,c,q}(z_1, z_2, \rho) \propto z_1^{2\{c/2\}} z_2^{2\{q/2\}}, \quad z_1 \rightarrow 0, \quad z_2 \rightarrow 0. \tag{43}$$

Кроме функций $M_{2s,c,q}(z_1, z_2, \rho)$ следует также рассмотреть линейные комбинации этих функций, которые встречаются в записи интегралов (22)–(25):

$$M_{0,2,0}(z_1, z_2, \rho) - M_{2,0,0}(z_1, z_2, \rho), \tag{44}$$

$$M_{0,2,1}(z_1, z_2, \rho) - M_{2,0,1}(z_1, z_2, \rho). \tag{45}$$

Подставляя явный вид функций $M_{2s,c,q}(z_1, z_2, \rho)$ в последние две формулы, можно убедиться, что при $z_1 \rightarrow 0, z_2 \rightarrow 0$ выражения (44) и (45) прямо пропорциональны $(z_1)^2$ и $(z_1)^2 z_2$ соответственно. Это связано со взаимным сокращением в формуле (44) слагаемых, содержащих множитель z_1 , а в формуле (45) — слагаемых, содержащих $z_1 z_2$.

Предельные формы интегралов I

Рассмотрим зависимость интегралов (22)–(25) от линейных размеров эллипсоидальной частицы и компонент вектора рассеяния \mathbf{q} при $|q_z(\mathbf{x})a_z| \ll 1$ и $q_{\perp}(\mathbf{x})a_x \ll 1$. Пользуясь (43), получаем

$$I((n_z)^m | \mathbf{x}) \propto (q_z(\mathbf{x})a_z)^{2\{m/2\}}, \quad m = 1, 2, 3, \tag{46}$$

$$I((n_z)^m n_i | \mathbf{x}) \propto (q_{\perp}(\mathbf{x})a_x)(q_z(\mathbf{x})a_z)^{2\{m/2\}}, \quad m = 0, 1, 2, \tag{47}$$

$$I((n_z)^m n_i n_j | \mathbf{x}) \propto (q_z(\mathbf{x})a_z)^{2\{m/2\}}, \quad m = 0, 1, \tag{48}$$

$$I(n_i n_j n_k | \mathbf{x}) \propto (q_{\perp}(\mathbf{x})a_x). \tag{49}$$

Индексы i, j, k могут принимать значения x или y . Исключения составляют только значения интегралов $I(n_x n_y | \mathbf{x})$ и $I(n_z n_x n_y | \mathbf{x})$. Они содержат выражения (44) и (45) соответственно. Следовательно, для указанных интегралов верны формулы

$$I(n_x n_y | \mathbf{x}) \propto (q_{\perp}(\mathbf{x})a_x)^2, \tag{50}$$

$$I(n_z n_x n_y | \mathbf{x}) \propto (q_{\perp}(\mathbf{x}) a_x)^2 (q_z(\mathbf{x}) a_z). \quad (51)$$

В Приложении Г приведены формулы, характеризующие зависимость интегралов $I(n_i | \mathbf{x})$, $I(n_i n_j | \mathbf{x})$, $I(n_i n_j n_k | \mathbf{x})$ от $q_{\perp}(\mathbf{x}) a_x$ и $q_z(\mathbf{x}) a_z$ при $|q_z(\mathbf{x}) a_z| \ll 1$ и $q_{\perp}(\mathbf{x}) a_x \ll 1$ при всех возможных комбинациях индексов i, j, k . Заметим, что обнаруженные закономерности верны не только при малом размере частицы ($a_z/\lambda \ll 1$, $a_x/\lambda \ll 1$), но характерны также и для направлений, в которых отдельные компоненты вектора рассеяния близки к нулю ($q_{\perp} \rightarrow 0$, $q_z \rightarrow 0$) даже при относительно больших линейных размерах сфероидальной частицы. Указанные формы зависимости интегралов I от линейных размеров частицы согласуются с видом функций, приведенных в табл. 5 работы [6].

Используя зависимости (46)–(51), можно охарактеризовать зависимость тензора эффективной восприимчивости $X_{ijk}^{(2\omega)}$ от линейных размеров диэлектрической частицы, когда они имеют малое значение ($k_{\omega} a_x \ll 1$). Выражения для некиральных компонент, в состав которых входят коэффициенты $\chi_{1-3}^{(2)}$, содержат также интегралы $I(n_i | \mathbf{x})$ и $I(n_i n_j n_k | \mathbf{x})$. Указанные интегралы в свою очередь при фиксированном значении ρ пропорциональны a_x . В дальней зоне, где генерируемое излучение описывается уравнениями для плоских волн, модуль вектора Умова–Пойнтинга генерируемой волны можно вычислить по формуле

$$S_r^{(2\omega)} \approx |S^{(2\omega)}(\mathbf{x})| = \frac{c}{8\pi} \frac{n_{2\omega}}{\mu_{2\omega}} |\mathbf{E}^{(2\omega)}(\mathbf{x})|^2. \quad (52)$$

Следовательно, при малых линейных размерах сфероидальной частицы плотность мощности генерируемого излучения для некирального слоя ($\chi_{1-3}^{(2)} \neq 0$, $\chi_4^{(2)} = 0$) прямо пропорциональна a_x^6 . Подобный характер зависимости для некиральных компонент ранее был обнаружен при решении задач о генерации второй гармоники [5] и генерации суммарной частоты [15] в сферическом слое.

В выражениях для киральных компонент, включающих $\chi_4^{(2)}$, содержатся также интегралы $I(n_i n_j | \mathbf{x})$, которые не зависят от a_x . Следовательно, для кирального слоя ($\chi_4^{(2)} \neq 0$, $\chi_{1-3}^{(2)} = 0$) модуль вектора Умова–Пойнтинга прямо пропорционален a_x^4 . Аналогичный порядок зависимости выявлен и при рассмотрении генерации суммарной частоты в поверхностном слое сферической частицы [15].

Стоит отметить, что при генерации второй гармоники в киральном поверхностном слое сферической частицы [5] вектор Умова–Пойнтинга прямо пропорционален a_x^8 , что серьезно отличается от результата, полученного для сфероидальной формы диэлектрической частицы ($S_r^{(2\omega)} \propto a_x^4$).

Эту особенность можно объяснить следующим образом. В соответствии с формулой (11) при вычислении вклада киральной компоненты $\chi_4^{(2)}$ в генерацию требуется использовать значение интегралов

$I(n_m n_k | \mathbf{x})$ и $I(n_m n_j | \mathbf{x})$, которые в свою очередь при $\rho \rightarrow 1$ содержат сферические функции Бесселя нулевого и второго порядков. В этом можно убедиться, подставляя значения функций $M_{2s,c,q}(z_1, z_2, \rho)$ из формул (29), (32), (34), (36) настоящей работы в формулы (81)–(86) Приложения Г. Однако при выполнении суммирования по индексам j и k , возникающего после подстановки формулы (11) в формулу (5), сокращаются слагаемые, содержащие сферические функции Бесселя нулевого порядка. Доминирующими становятся слагаемые, пропорциональные сферическим функциям Бесселя второго порядка, которые при малом размере частицы пропорциональны a_x^2 . Сокращение сферических функций Бесселя нулевого порядка происходит только при генерации второй гармоники в сферическом слое и не происходит при генерации суммарной частоты в сферическом слое [15] или при генерации второй гармоники в сфероидальном слое.

Сравнение с работами других авторов

Задача о нелинейной генерации в поверхностном слое сфероидальной диэлектрической частицы ранее была рассмотрена авторами статьи [6]. Однако их решение обладает рядом недостатков и неточностей.

1) Полученные ими выражения в виде рядов для описания интегралов, аналогичных записанным в (7), сходятся только при $\rho^2 > 1/2$, а значит, не пригодны для описания генерации в сплюснутых в значительной степени сфероидальных частицах. При этом сами авторы в статье [6] не указывают границы применимости их модели.

2) Значения интегралов были получены в работе [6] в предположении, что вектор рассеяния \mathbf{q} расположен в плоскости Oxz . Вследствие этого расчет численных значений компонент вектора напряженности электрического поля генерируемого излучения вне плоскости, содержащей вектор \mathbf{q} , невозможен без дополнительных преобразований поворота, что затрудняет процесс анализа пространственного распределения генерируемого излучения.

3) В табл. 3 работы [6] допущено несколько опечаток:

- в выражении для $B_{x'z'}$ должна отсутствовать мнимая единица. Другими словами, выражение для $B_{x'z'}$ должно быть мнимым, как и выражения для $B_{x'x'}$, $B_{y'y'}$, $B_{z'z'}$, записанные в той же таблице; это также подтверждается отмеченной нами особенностью: значения интегралов $I(n_i n_j | \mathbf{x})$, соответствующих функциям B_{ij} являются действительными;

- в выражении для $B_{x'z'}$ переменную $a_{z'}$ необходимо заменить на $q_{z'}$. Это подтверждается тем, что $a_{z'}$ в содержании работы [6] больше нигде не встречается в отличие от $q_{z'}$.

Выражение для $B_{x'z'}$ в работе [6] с учетом предложенных исправлений должно быть

$$B_{x'z'} = -3VDq_{x'}q_{z'} \sum_{n,h}^{\infty} \frac{(2n-1)!!}{(2n)!!} \times \frac{(2n+2h+1)!!}{2h+1} M(n,h) \kappa_{n+h+2}(q_{x'}D). \quad (53)$$

4) При разложении в ряд в формуле (27) работы [6] допущена опечатка: в знаменателе выражения $\cos^{2n}(t)/\rho^2$ переменная ρ должна возводиться в первую степень, а не во вторую, что легко проверяется подстановкой численных значений в формулу. Правильная форма записи указанного выражения приведена ниже:

$$\frac{1}{\gamma(\rho, t)} = \frac{1}{(\cos^2 t + \rho^2 \sin^2 t)^{1/2}} = \sum_{n=0}^{\infty} \left(\frac{\rho^2 - 1}{\rho^2} \right)^n \frac{(2n-1)!!}{(2n)!!} \frac{\cos^{2n} t}{\rho}. \quad (54)$$

5) В формуле (19) работы [6] пропущен множитель 3 в выражении для вектора \mathbf{C} . С учетом поправки указанная формула примет вид

$$\mathbf{C} = 3i\mathbf{q}V \frac{j_1[(q_{x'}^2 + \rho^2 q_{z'}^2)^{1/2} D]}{(q_{x'}^2 + \rho^2 q_{z'}^2)^{1/2} D}, \quad (55)$$

что подтверждается значениями компонент вектора \mathbf{C} , указанными в табл. 3 работы [6], и соответствует результатам, полученным в настоящей статье.

С учетом описанных исправлений связь между функциями в настоящей работе и в статье [6] следующая:

$$C_i = a_x^2 I(n_i), \quad (56)$$

$$B_{ij} = a_x^2 I(n_i n_j), \quad (57)$$

$$A_{ijk} = a_x^2 I(n_i n_j n_k). \quad (58)$$

Здесь слева указаны обозначения, принятые в работе [6], а справа — в настоящей работе для частного случая, когда $q_y = 0$ и $\rho^2 > 1/2$.

Несложно проверить, что значения интегралов $I(n_i)$, $I(n_i n_j)$ и $I(n_i n_j n_k)$ также подчиняются свойствам, указанным в статье [6]:

$$I(n_i n_k n_k) = I(n_i), \quad (59)$$

$$I(n_k n_k) = I(1). \quad (60)$$

Выражение $I(1)$ в работе [6] обозначено $f(\mathbf{q})$ и названо линейным поверхностным форм-фактором.

Заключение

Решение задачи о генерации второй гармоники в поверхностном слое частицы в форме эллипсоида вращения посредством разложения в ряд и интегрирования — на данный момент единственный существующий способ аналитического описания данного явления.

Впервые полученная в работе компактная форма записи результирующих выражений с использованием функции $M_{2s,c,q}(z_1, z_2, \rho)$ достаточно удобна для последующего анализа свойств пространственного распределения излучения удвоенной частоты и применима при любых соотношениях линейных размеров сфероидальной частицы. Благодаря использованию двух форм функции $M_{2s,c,q}(z_1, z_2, \rho)$ удалось расширить область применимости полученного авторами работы [6] аналитического решения для описания генерации излучения удвоенной частоты в поверхностном слое частицы в форме эллипсоида вращения. С целью проверки корректности решения установлена связь частных случаев приведенных в настоящей работе функций с функциями, использованными в статье [6] для описания генерации второй гармоники. При этом обнаружено, что общие свойства, характерные для тензорных интегральных величин и впервые встречающиеся в работе [6], также верны и для вспомогательных интегралов I , полученных в настоящей работе.

В пределе, когда форма сфероидальной частицы стремится к сферической ($\rho \rightarrow 1$), функции, используемые при описании генерации второй гармоники в поверхностном слое сфероидальной частицы, трансформируются в функции, характеризующие пространственное распределение излучения удвоенной частоты, генерируемое в поверхностном слое сферической диэлектрической частицы [5], что не противоречит принципу соответствия.

Явный вид функций $M_{2s,c,q}(z_1, z_2, \rho)$ при фиксированных значениях индексов s, c, q (Приложение В) может быть использован для дальнейшего анализа и сокращения времени, необходимого для вычисления компонент вектора напряженности электрического поля второй гармоники. Характер зависимости функций $M_{2s,c,q}(z_1, z_2, \rho)$ от аргументов z_1 и z_2 при их малых значениях соответствует указанным в Приложении В формулам и успешно использован при определении поведения вспомогательных интегралов при малых значениях линейных размеров диэлектрической частицы в форме эллипсоида вращения.

Пользуясь приведенными в Приложении Г зависимостями, можно определить доминирующие компоненты вектора напряженности электрического поля удвоенной частоты. В частности, выявлено, что доминирующий вклад в генерацию при малых линейных размерах сфероидальной частицы, когда ρ существенно отличается от 1, вносят именно киральные компоненты, обусловленные коэффициентом $\chi_4^{(2)}$. При этом плотность мощности генерируемого излучения прямо пропорциональна a_x^4 . При тех же условиях некиральные компоненты, обусловленные коэффициентами $\chi_{1-3}^{(2)}$, ответственны за генерацию излучения, плотность мощности которого пропорциональна a_x^6 . Аналогичные результаты с преобладающим вкладом киральных компонент в генерацию ранее были получены и при решении задач о генерации второй гармоники [8] и генерации суммарной частоты [16] в

поверхностных слоев диэлектрических частиц, имеющих форму цилиндра.

Разработанный подход к описанию генерации второй гармоники в деформированных сферических частицах может найти применение при аналитическом описании генерации суммарной частоты и других нелинейных эффектов в диэлектрических частицах подобной формы. Поиск явного вида интегральных тензорных величин посредством разложения в ряд применим и при решении задач о нелинейной генерации в частицах более сложных форм: произвольного эллипсоида, эллиптического цилиндра, полусферы и их элементов. Использование такого метода приближает возможность разработки системных подходов для высокоточного описания нелинейной генерации в частицах произвольных форм, в том числе генерации более высоких порядков.

Финансирование работы

Работа выполнена при финансовой поддержке Белорусского республиканского фонда фундаментальных исследований (грант Ф20М-011).

Конфликт интересов

Авторы заявляют, что у них нет конфликта интересов.

Приложение А. Доказательство сходимости суммы бесконечного ряда

Рассмотрим одно из слагаемых в сумме, записанной в выражении (20). Для этого зафиксируем значения индексов s, c, q, g, m, k, l, d , (все индексы, кроме n .) и переменных ρ, z_1, z_2 . Тогда получим следующее выражение:

$$F_n = \frac{(-1)^{k+l+g} (q + 2\{q/2\} + 2n + 2g + 2k - 1)!!}{(2g + 2\{q/2\})!} \times (q/2 + \{q/2\} + n + g + k)_l \binom{-(c + q - 1)/2 - s}{n} \times \binom{s}{m, k, s, -m - k} \binom{2m + c}{l} \left(\frac{1}{\rho^2} - 1\right)^n \times j_{q/2 + \{q/2\} + n + g + k}^{(2m + c - l)}(z_1) z_1^{-(n + g + k + l)} z_2^{2g}. \tag{61}$$

С целью выяснения условий сходимости суммы по n при $n \rightarrow \infty$ воспользуемся признаком Д’Аламбера. Для этого найдём предел отношения значений выражения (61) при двух последовательных значениях индекса n для $n \rightarrow \infty$:

$$\lim_{n \rightarrow \infty} (F_{n+1}/F_n). \tag{62}$$

Рассмотрим поочередно отношение соответствующих множителей, содержащихся в функциях F_{n+1} и F_n .

Первый множитель

$$\frac{(-1)^{k+l+g} (q + 2\{q/2\} + 2(n + 1) + 2g + 2k - 1)!!}{(2g + 2\{q/2\})!} \times \left(\frac{(-1)^{k+l+g} (q + 2\{q/2\} + 2n + 2g + 2k - 1)!!}{(2g + 2\{q/2\})!} \right)^{-1} = q + 2\{q/2\} + 2n + 1 + 2g + 2k. \tag{63}$$

Второй множитель

$$\frac{(q/2 + \{q/2\} + n + 1 + g + k)_l}{(q/2 + \{q/2\} + n + g + k)_l} = \frac{q/2 + \{q/2\} + n + 1 + g + k}{q/2 + \{q/2\} + n + g + k}. \tag{64}$$

Третий множитель

$$\frac{\binom{-(c + q - 1)/2 - s}{n+1}}{\binom{-(c + q - 1)/2 - s}{n}} = \frac{\Gamma(-(c + q - 1)/2 - s + 1)}{\Gamma(n + 2)\Gamma(-(c + q - 1)/2 - s - n)} \times \frac{\Gamma(-(c + q - 1)/2 - s + 1)}{\Gamma(n + 1)\Gamma(-(c + q - 1)/2 - s - n + 1)} = \frac{\Gamma(n + 1)}{\Gamma(n + 2)} \frac{\Gamma(-(c + q - 1)/2 - s - n + 1)}{\Gamma(-(c + q - 1)/2 - s - n)} = \frac{-(c + q - 1)/2 - s - n}{1 + n}. \tag{65}$$

Четвёртый и пятый множители не зависят от n , поэтому отношение множителей при двух последовательных значениях n окажется равным единице. Шестой множитель

$$\left(\frac{1}{\rho^2} - 1\right)^{n+1} / \left(\frac{1}{\rho^2} - 1\right)^n = \frac{1}{\rho^2} - 1. \tag{66}$$

Для вычислений с седьмым множителем нам понадобится предварительно вычислить предел $\lim_{n \rightarrow \infty} j_{n+1}^{(d)}(z)/j_n^{(d)}(z)$. Проще всего это сделать с помощью разложения в ряд [14]:

$$j_n(z) = z^n \sum_{k=0}^{\infty} \frac{(-\frac{1}{2}z^2)^k}{k!(2n + 2k + 1)!!} = \sum_{k=0}^{\infty} \frac{(-1)^k z^{2k+n}}{2^k k!(2n + 2k + 1)!!}. \tag{67}$$

Тогда для производной порядка d верно следующее разложение:

$$j_n^{(d)}(z) = \sum_{k=0}^{\infty} \frac{(2k + n)!(-1)^k z^{2k+n-d}}{(2k + n - d)! 2^k k!(2n + 2k + 1)!!}. \tag{68}$$

Следовательно, отношение соответствующих функций при последовательных значениях порядка можно записать в виде

$$j_{n+1}^{(d)}(z)/j_n^{(d)}(z) = \frac{\sum_{k=0}^{\infty} \frac{(2k+n+1)!(-1)^k z^{2k+n+1-d}}{(2k+n-d+1)!2^k k!(2n+2k+3)!}}{\sum_{k=0}^{\infty} \frac{(2k+n)!(-1)^k z^{2k+n-d}}{(2k+n-d)!2^k k!(2n+2k+1)!}}$$

$$= z \frac{\sum_{k=0}^{\infty} \frac{(2k+n)!(-1)^k z^{2k}}{(2k+n-d)!2^k k!(2n+2k+1)!} \frac{(2k+n+1)}{(2k+n-d+1)(2n+2k+3)}}{\sum_{k=0}^{\infty} \frac{(2k+n)!(-1)^k z^{2k}}{(2k+n-d)!2^k k!(2n+2k+1)!}}. \quad (69)$$

В пределе при $n \rightarrow \infty$ получаем

$$\lim_{n \rightarrow \infty} \frac{(2k+n+1)}{(2k+n-d+1)(2n+2k+3)} = \frac{1}{2n}. \quad (70)$$

Тогда, используя (70) в (69), получаем

$$\lim_{n \rightarrow \infty} z \frac{\sum_{k=0}^{\infty} \frac{(2k+n)!(-1)^k z^{2k}}{(2k+n-d)!2^k k!(2n+2k+1)!} \frac{(2k+n+1)}{(2k+n-d+1)(2n+2k+3)}}{\sum_{k=0}^{\infty} \frac{(2k+n)!(-1)^k z^{2k}}{(2k+n-d)!2^k k!(2n+2k+1)!}}$$

$$= \lim_{n \rightarrow \infty} z \frac{\frac{1}{2n} \sum_{k=0}^{\infty} \frac{(2k+n)!(-1)^k z^{2k}}{(2k+n-d)!2^k k!(2n+2k+1)!}}{\sum_{k=0}^{\infty} \frac{(2k+n)!(-1)^k z^{2k}}{(2k+n-d)!2^k k!(2n+2k+1)!}} = \frac{z}{2n}. \quad (71)$$

Отметим, что замена $\frac{(2k+n+1)}{(2k+n-d+1)(2n+2k+3)}$ на $\frac{1}{2n}$ в формуле (71) верна в случае, если $n \gg k$. Однако остальные слагаемые в сумме, для которых порядок величин n и k близок или выполняется условие $k \gg n$, имеют пренебрежимо малую величину по сравнению с точным значением производной соответствующей сферической функции Бесселя.

Тогда предельное значение отношения производных d -го порядка сферических функций Бесселя $(n+1)$ -го и n -го порядков при $n \rightarrow \infty$ можно найти из выражения

$$\lim_{n \rightarrow \infty} \frac{j_{n+1}^{(d)}(z)}{j_n^{(d)}(z)} = \frac{z}{2n}. \quad (72)$$

Пользуясь свойством (72), получаем

$$\lim_{n \rightarrow \infty} \frac{j_{q/2+\{q/2\}+n+1+g+k}^{(2m+c-l)}(z_1)}{j_{q/2+\{q/2\}+n+g+k}^{(2m+c-l)}(z_1)}$$

$$= \frac{z_1}{2(q/2 + \{q/2\} + n + g + k)}. \quad (73)$$

Для восьмого и девятого множителя получаем отношение

$$\frac{z_1^{-\frac{-(n+1+g+k+l)}{2g}}}{z_1^{-\frac{-(n+g+k+l)}{2g}}} = \frac{1}{z_1}. \quad (74)$$

Теперь, пользуясь (63)–(66), (73), (74), найдём предел отношения F_{n+1}/F_n :

$$\lim_{n \rightarrow \infty} (F_{n+1}/F_n) = \lim_{n \rightarrow \infty} (q+2\{q/2\} + 2n+2+2g+2k - 1)$$

$$\times \frac{q/2 + \{q/2\} + n + 1 + g + k - (c + q - 1)/2 - s - n}{q/2 + \{q/2\} + n + g + k} \frac{1}{1 + n}$$

$$\times \left(\frac{1}{\rho^2} - 1 \right) \frac{z_1}{2(q/2 + \{q/2\} + n + g + k)} \frac{1}{z_1} = - \left(\frac{1}{\rho^2} - 1 \right). \quad (75)$$

В соответствии с признаком Д’Аламбера ряд будет сходиться только в случае, когда выполняется условие

$$\left| - \left(\frac{1}{\rho^2} - 1 \right) \right| < 1. \quad (76)$$

Это возможно, если величина ρ^2 подчиняется следующему ограничению:

$$\rho^2 > 1/2. \quad (77)$$

Приложение Б. Явный вид интегралов I

$$I(n_x | \mathbf{x}) = \rho M_{0,1,0}(q_{\perp}(\mathbf{x})a_x, q_z(\mathbf{x})a_z, \rho)v_x, \quad (78)$$

$$I(n_y | \mathbf{x}) = \rho M_{0,1,0}(q_{\perp}(\mathbf{x})a_x, q_z(\mathbf{x})a_z, \rho)v_y, \quad (79)$$

$$I(n_z | \mathbf{x}) = \rho M_{0,0,1}(q_{\perp}(\mathbf{x})a_x, q_z(\mathbf{x})a_z, \rho), \quad (80)$$

$$I(n_x n_x | \mathbf{x}) = \rho^2 (M_{0,2,0}(q_{\perp}(\mathbf{x})a_x, q_z(\mathbf{x})a_z, \rho)v_x v_x$$

$$+ M_{2,0,0}(q_{\perp}(\mathbf{x})a_x, q_z(\mathbf{x})a_z, \rho)(1 - v_x v_x)), \quad (81)$$

$$I(n_x n_y | \mathbf{x}) = \rho^2 (M_{0,2,0}(q_{\perp}(\mathbf{x})a_x, q_z(\mathbf{x})a_z, \rho)$$

$$- M_{2,0,0}(q_{\perp}(\mathbf{x})a_x, q_z(\mathbf{x})a_z, \rho))v_x v_y, \quad (82)$$

$$I(n_y n_y | \mathbf{x}) = \rho^2 (M_{0,2,0}(q_{\perp}(\mathbf{x})a_x, q_z(\mathbf{x})a_z, \rho)v_y v_y$$

$$+ M_{2,0,0}(q_{\perp}(\mathbf{x})a_x, q_z(\mathbf{x})a_z, \rho)(1 - v_y v_y)), \quad (83)$$

$$I(n_z n_x | \mathbf{x}) = \rho M_{0,1,1}(q_{\perp}(\mathbf{x})a_x, q_z(\mathbf{x})a_z, \rho)v_x, \quad (84)$$

$$I(n_z n_y | \mathbf{x}) = \rho M_{0,1,1}(q_{\perp}(\mathbf{x})a_x, q_z(\mathbf{x})a_z, \rho)v_y, \quad (85)$$

$$I(n_z n_z | \mathbf{x}) = M_{0,0,2}(q_{\perp}(\mathbf{x})a_x, q_z(\mathbf{x})a_z, \rho), \quad (86)$$

$$I(n_x n_x n_x | \mathbf{x}) = \rho^3 (M_{0,3,0}(q_{\perp}(\mathbf{x})a_x, q_z(\mathbf{x})a_z, \rho)v_x v_x$$

$$+ 3M_{2,1,0}(q_{\perp}(\mathbf{x})a_x, q_z(\mathbf{x})a_z, \rho)(1 - v_x v_x))v_x, \quad (87)$$

$$I(n_x n_x n_y | \mathbf{x}) = \rho^3 (M_{0,3,0}(q_{\perp}(\mathbf{x})a_x, q_z(\mathbf{x})a_z, \rho)v_x v_x$$

$$+ M_{2,1,0}(q_{\perp}(\mathbf{x})a_x, q_z(\mathbf{x})a_z, \rho)(1 - 3v_x v_x))v_y, \quad (88)$$

$$I(n_x n_y n_y | \mathbf{x}) = \rho^3 (M_{0,3,0}(q_{\perp}(\mathbf{x})a_x, q_z(\mathbf{x})a_z, \rho)v_y v_y$$

$$+ M_{2,1,0}(q_{\perp}(\mathbf{x})a_x, q_z(\mathbf{x})a_z, \rho)(1 - 3v_y v_y))v_x, \quad (89)$$

$$I(n_y n_y n_y | \mathbf{x}) = \rho^3 (M_{0,3,0}(q_\perp(\mathbf{x})a_x, q_z(\mathbf{x})a_z, \rho)v_y v_y + 3M_{2,1,0}(q_\perp(\mathbf{x})a_x, q_z(\mathbf{x})a_z, \rho)(1 - v_y v_y))v_y, \quad (90)$$

$$I(n_z n_x n_x | \mathbf{x}) = \rho^2 (M_{0,2,1}(q_\perp(\mathbf{x})a_x, q_z(\mathbf{x})a_z, \rho)v_x v_x + M_{2,0,1}(q_\perp(\mathbf{x})a_x, q_z(\mathbf{x})a_z, \rho)(1 - v_x v_x)), \quad (91)$$

$$I(n_z n_x n_y | \mathbf{x}) = \rho^2 (M_{0,2,1}(q_\perp(\mathbf{x})a_x, q_z(\mathbf{x})a_z, \rho) - M_{2,0,1}(q_\perp(\mathbf{x})a_x, q_z(\mathbf{x})a_z, \rho))v_x v_y, \quad (92)$$

$$I(n_z n_y n_y | \mathbf{x}) = \rho^2 (M_{0,2,1}(q_\perp(\mathbf{x})a_x, q_z(\mathbf{x})a_z, \rho)v_y v_y + M_{2,0,1}(q_\perp(\mathbf{x})a_x, q_z(\mathbf{x})a_z, \rho)(1 - v_y v_y)), \quad (93)$$

$$I(n_z n_z n_x | \mathbf{x}) = \rho M_{0,1,2}(q_\perp(\mathbf{x})a_x, q_z(\mathbf{x})a_z, \rho)v_x, \quad (94)$$

$$I(n_z n_z n_y | \mathbf{x}) = \rho M_{0,1,2}(q_\perp(\mathbf{x})a_x, q_z(\mathbf{x})a_z, \rho)v_y, \quad (95)$$

$$I(n_z n_z n_z | \mathbf{x}) = M_{0,0,3}(q_\perp(\mathbf{x})a_x, q_z(\mathbf{x})a_z, \rho). \quad (96)$$

$$\times \sum_{g=0}^{\infty} \sum_{n=0}^{\infty} (-1)^{g+1} (2(q/2 + \{q/2\} + n + g) - 1)!! \times \left(\frac{-q/2}{n}\right) \left(\frac{1}{\rho^2} - 1\right)^n \frac{j_{q/2+\{q/2\}+n+g+1}(z_1)}{z_1^{q/2+\{q/2\}+n+g}} \times \frac{z_2^{2g+2\{q/2\}}}{(2g + 2\{q/2\})!}, \quad (98)$$

$$M_{0,2,q}(z_1, z_2, \rho) = \frac{4\pi i^{2\{q/2\}-2}}{\rho^{1+q}} \sum_{g=0}^{\infty} \sum_{n=0}^{\infty} \sum_{l=0}^2 (-1)^{l+g} \times (2(q/2 + \{q/2\} + n + g) - 1)!! \binom{-(1+q)/2}{n} \times \binom{2}{l} \left(\frac{1}{\rho^2} - 1\right)^n (q/2 + \{q/2\} + n + g)_l$$

$$\times \frac{j_{q/2+\{q/2\}+n+g}^{(2-l)}(z_1)}{z_1^{q/2+\{q/2\}+n+g+l}} \frac{z_2^{2g+2\{q/2\}}}{(2g + 2\{q/2\})!} = \frac{4\pi i^{2\{q/2\}-2}}{\rho^{1+q}} \sum_{g=0}^{\infty} \sum_{n=0}^{\infty} (-1)^g (2(q/2 + \{q/2\} + n + g) - 1)!! \times \binom{-(1+q)/2}{n} \left(\frac{1}{\rho^2} - 1\right)^n \times \frac{j_{q/2+\{q/2\}+n+g+2}(z_1) - j_{q/2+\{q/2\}+n+g+1}(z_1)/z_1}{z_1^{q/2+\{q/2\}+n+g}} \times \frac{z_2^{2g+2\{q/2\}}}{(2g + 2\{q/2\})!}. \quad (99)$$

Приложение В. Упрощённые формулы для функций M

При $\rho^2 > 1/2$ справедливы следующие формулы:

$$M_{0,0,q}(z_1, z_2, \rho) = \frac{4\pi i^{2\{q/2\}}}{\rho^{q-1}} \times \sum_{g=0}^{\infty} \sum_{n=0}^{\infty} (-1)^g (2(q/2 + \{q/2\} + n + g) - 1)!! \times \binom{-(q-1)/2}{n} \left(\frac{1}{\rho^2} - 1\right)^n \times \frac{j_{q/2+\{q/2\}+n+g}(z_1)}{z_1^{q/2+\{q/2\}+n+g}} \frac{z_2^{2g+2\{q/2\}}}{(2g + 2\{q/2\})!}, \quad (97)$$

$$M_{0,1,q}(z_1, z_2, \rho) = \frac{4\pi i^{2\{q/2\}-1}}{\rho^q} \sum_{g=0}^{\infty} \sum_{n=0}^{\infty} \sum_{l=0}^1 (-1)^{l+g} \times (2(q/2 + \{q/2\} + n + g) - 1)!! (q/2 + \{q/2\} + n + g)_l \times \binom{-q/2}{n} \left(\frac{1}{\rho^2} - 1\right)^n \frac{j_{q/2+\{q/2\}+n+g}^{(1-l)}(z_1)}{z_1^{q/2+\{q/2\}+n+g+l}} \times \frac{z_2^{2g+2\{q/2\}}}{(2g + 2\{q/2\})!} = \frac{4\pi i^{2\{q/2\}-1}}{\rho^q}$$

При $0 < \rho^2 < 2$ верны следующие формулы:

$$M_{0,0,q}(z_1, z_2, \rho) = 4\pi i^{2\{q/2\}} \sum_{g=0}^{\infty} \sum_{n=0}^{\infty} \sum_{d=0}^n (-1)^{g+d} \times (2(q/2 + \{q/2\} + d + g) - 1)!! \times \binom{-(q-1)/2}{-(q-1)/2 - n, n - d, d} (\rho^2 - 1)^n \times \frac{j_{q/2+\{q/2\}+d+g}(z_1)}{z_1^{q/2+\{q/2\}+d+g}} \frac{z_2^{2g+2\{q/2\}}}{(2g + 2\{q/2\})!}, \quad (100)$$

$$\begin{aligned}
 M_{0,1,q}(z_1, z_2, \rho) &= 4\pi i^{2\{q/2\}-1} \sum_{g=0}^{\infty} \sum_{n=0}^{\infty} \sum_{l=0}^1 \sum_{d=0}^n (-1)^{l+g+d} \\
 &\times (2\{q/2\} + \{q/2\} + d + g - 1)!! \\
 &\times \binom{-q/2}{-q/2 - n, n - d, d} (\rho^2 - 1)^n \\
 &\times (q/2 + \{q/2\} + d + g)_l \\
 &\times \frac{j_{q/2+\{q/2\}+d+g}^{(1-l)}(z_1)}{z_1^{q/2+\{q/2\}+d+g+l}} \frac{z_2^{2g+2\{q/2\}}}{(2g + 2\{q/2\})!}, \\
 &= 4\pi i^{2\{q/2\}-1} \sum_{g=0}^{\infty} \sum_{n=0}^{\infty} \sum_{d=0}^n (-1)^{1+g+d} \\
 &\times (2\{q/2\} + \{q/2\} + d + g - 1)!! \\
 &\times \binom{-q/2}{-q/2 - n, n - d, d} (\rho^2 - 1)^n \\
 &\times \frac{j_{q/2+\{q/2\}+d+g+1}(z_1)}{z_1^{q/2+\{q/2\}+d+g}} \frac{z_2^{2g+2\{q/2\}}}{(2g + 2\{q/2\})!},
 \end{aligned} \tag{101}$$

$$\begin{aligned}
 M_{0,2,q}(z_1, z_2, \rho) &= 4\pi i^{2\{q/2\}-2} \sum_{g=0}^{\infty} \sum_{n=0}^{\infty} \sum_{l=0}^2 \sum_{d=0}^n (-1)^{l+g+d} \\
 &\times (2\{q/2\} + \{q/2\} + d + g - 1)!! \\
 &\times \binom{-(q+1)/2}{-(q+1)/2 - n, n - d, d} \binom{2}{l} (\rho^2 - 1)^n \\
 &\times (q/2 + \{q/2\} + d + g)_l \\
 &\times \frac{j_{q/2+\{q/2\}+d+g}^{(2-l)}(z_1)}{z_1^{q/2+\{q/2\}+d+g+l}} \frac{z_2^{2g+2\{q/2\}}}{(2g + 2\{q/2\})!} \\
 &= 4\pi i^{2\{q/2\}} \sum_{g=0}^{\infty} \sum_{n=0}^{\infty} \sum_{d=0}^n (-1)^{g+d+1} \\
 &\times (2\{q/2\} + \{q/2\} + d + g - 1)!! \\
 &\times \binom{-(q+1)/2}{-(q+1)/2 - n, n - d, d} (\rho^2 - 1)^n \\
 &\times \frac{j_{q/2+\{q/2\}+d+g+2}(z_1) - j_{q/2+\{q/2\}+d+g+1}(z_1)/z_1}{z_1^{q/2+\{q/2\}+d+g}} \\
 &\times \frac{z_2^{2g+2\{q/2\}}}{(2g + 2\{q/2\})!}.
 \end{aligned} \tag{102}$$

Приложение Г. Зависимость вспомогательных интегралов от линейных размеров частицы

$$I(n_x|\mathbf{x}) \propto (q_{\perp}(\mathbf{x})a_x), \tag{103}$$

$$I(n_y|\mathbf{x}) \propto (q_{\perp}(\mathbf{x})a_x), \tag{104}$$

$$I(n_z|\mathbf{x}) \propto (q_z(\mathbf{x})a_z), \tag{105}$$

$$I(n_x n_x|\mathbf{x}) \propto 1, \tag{106}$$

$$I(n_x n_y|\mathbf{x}) \propto (q_{\perp}(\mathbf{x})a_x)^2, \tag{107}$$

$$I(n_y n_y|\mathbf{x}) \propto 1, \tag{108}$$

$$I(n_z n_x|\mathbf{x}) \propto (q_{\perp}(\mathbf{x})a_x)(q_z(\mathbf{x})a_z), \tag{109}$$

$$I(n_z n_y|\mathbf{x}) \propto (q_{\perp}(\mathbf{x})a_x)(q_z(\mathbf{x})a_z), \tag{110}$$

$$I(n_z n_z|\mathbf{x}) \propto 1, \tag{111}$$

$$I(n_x n_x n_x|\mathbf{x}) \propto (q_{\perp}(\mathbf{x})a_x), \tag{112}$$

$$I(n_x n_x n_y|\mathbf{x}) \propto (q_{\perp}(\mathbf{x})a_x), \tag{113}$$

$$I(n_x n_y n_y|\mathbf{x}) \propto (q_{\perp}(\mathbf{x})a_x), \tag{114}$$

$$I(n_y n_y n_y|\mathbf{x}) \propto (q_{\perp}(\mathbf{x})a_x), \tag{115}$$

$$I(n_z n_x n_x|\mathbf{x}) \propto (q_z(\mathbf{x})a_z), \tag{116}$$

$$I(n_z n_x n_y|\mathbf{x}) \propto (q_{\perp}(\mathbf{x})a_x)^2 (q_z(\mathbf{x})a_z), \tag{117}$$

$$I(n_z n_y n_y|\mathbf{x}) \propto (q_z(\mathbf{x})a_z), \tag{118}$$

$$I(n_z n_z n_x|\mathbf{x}) \propto (q_{\perp}(\mathbf{x})a_x), \tag{119}$$

$$I(n_z n_z n_y|\mathbf{x}) \propto (q_{\perp}(\mathbf{x})a_x), \tag{120}$$

$$I(n_z n_z n_z|\mathbf{x}) \propto (q_z(\mathbf{x})a_z). \tag{121}$$

Список литературы

- [1] D.S. James, C.J. Brereton, D.E. Davies, M.G. Jones, P.J. Campagnola. *J. Biomed. Opt.*, **26** (6), 066501 (2021). DOI: 10.1117/1.JBO.26.6.066501
- [2] S. Jen, H. Dai, G. Gonella. *J. Phys. Chem. C*, **114** (10), 4302 (2010). DOI: 10.1021/jp910144c
- [3] J.I. Dadap, K.B. Eisenthal. *J. Phys. Chem. B*, **118** (49), 14366 (2014). DOI: 10.1021/jp507834s
- [4] S. Viarbitskaya, V. Kapshai, P. van der Meulen, T. Hansson. *Phys. Rev. A*, **81** (5), 053850 (2010). DOI: 10.1103/PhysRevA.81.053850
- [5] В.Н. Капшай, А.А. Шамына. *Опт. и спектр.*, **123** (3), 416 (2017). DOI: 10.7868/S003040341709015X [V.N. Kapshai, A.A. Shamyna. *Opt. Spectrosc.*, **123** (3), 440 (2017). DOI: 10.1134/S0030400X17090144].
- [6] A.G.F. de Beer, S. Roke, J.I. Dadap. *J. Opt. Soc. Am. B*, **28** (6), 1374 (2011). DOI: 10.1364/JOSAB.28.001374
- [7] J.I. Dadap. *Phys. Rev. B*, **78** (20), 205322 (2008). DOI: 10.1103/PhysRevB.78.205322
- [8] А.А. Шамына, В.Н. Капшай. *Опт. и спектр.*, **126** (6), 724 (2019). DOI: 10.21883/OS.2022.07.52725.3228-22 [A.A. Shamyna, V.N. Kapshai. *Opt. Spectrosc.*, **126** (6), 645 (2019). DOI: 10.1134/S0030400X19060225].

- [9] В.Н. Капшай, А.А. Шамына. *Опт. и спектр.*, **126** (6), 732 (2019). DOI: 10.21883/OS.2022.07.52725.3228-22 [V.N. Kapshai, A.A. Shamyuna. *Opt. Spectrosc.*, **126** (6), 653 (2019). DOI: 10.1134/S0030400X19060134].
- [10] А.А. Шамына, В.Н. Капшай. *Опт. и спектр.*, **126** (6), 740 (2019). DOI: 10.21883/OS.2022.07.52725.3228-22 [A.A. Shamyuna, V.N. Kapshai. *Opt. Spectrosc.*, **126** (6), 661 (2019). DOI: 10.1134/S0030400X19060237].
- [11] S. Ding, Z. Luo, Y. Xie, G. Pan, Y. Qiu, K. Chen, L. Zhou, J. Wang, H. Lin, Q. Wang. *Nanoscale*, **10** (124), 124 (2018). DOI: 10.1039/c7nr06293a
- [12] G.M. Mangalgiri, P. Manley, W. Riedel, M. Schmid. *Scientific Rep.*, **7**, 4311 (2017). DOI: 10.1038/s41598-017-03721-w
- [13] J.I. Dadap, J. Shan, T. Heinz. *J. Opt. Soc. Am. B*, **21** (7), 1328 (2004). DOI: 10.1364/JOSAB.21.001328
- [14] Г. Бейтмен, А. Эрдейи. *Высшие трансцендентные функции. Функции Бесселя, функции параболического цилиндра, ортогональные многочлены* (Наука, Москва, 1966), с. 18.
- [15] В.Н. Капшай, А.А. Шамына. *Опт. и спектр.*, **124** (6), 795 (2018). DOI: 10.21883/OS.2022.07.52725.3228-22 [V.N. Kapshai, A.A. Shamyuna. *Opt. Spectrosc.*, **124** (6), 826 (2018). DOI: 10.1134/S0030400X18060115].
- [16] А.А. Шамына, В.Н. Капшай. *Опт. и спектр.*, **124** (1), 105 (2018). DOI: 10.21883/OS.2022.07.52725.3228-22 [A.A. Shamyuna, V.N. Kapshai. *Opt. Spectrosc.*, **124** (1), 103 (2018). DOI: 10.1134/S0030400X18010198].